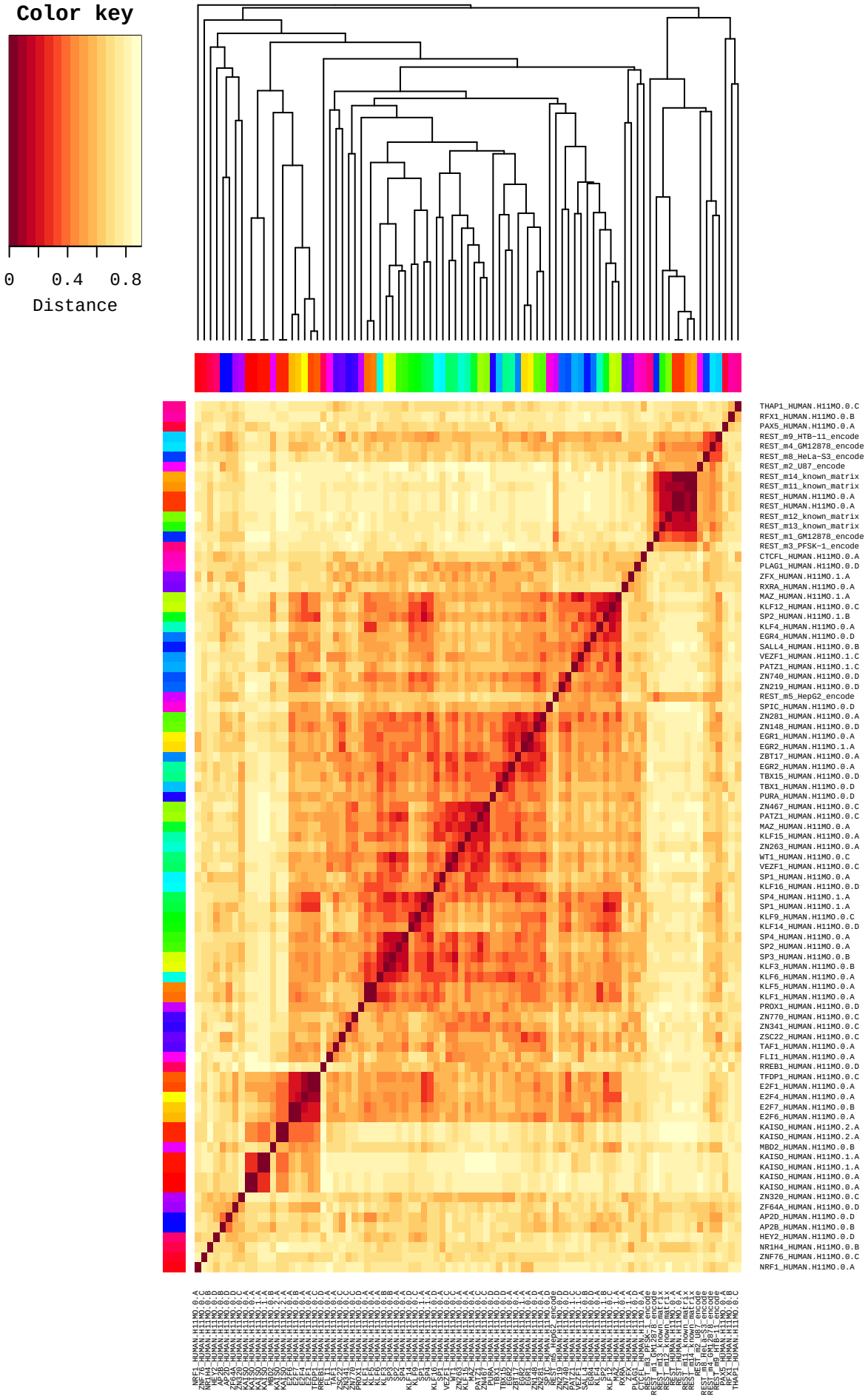
Color key
0
0.4
0.8
Distance
THAP1_HUMAN.H11MO.0.C
RFX1_HUMAN.H11MO.0.B
PAX5_HUMAN.H11MO.0.A
REST_m9_HTB-11_encode
REST_m4_GM12878_encode
REST_m8_HeLa-S3_encode
REST_m2_U87_encode
REST_m14_known_matrix
REST_m11_known_matrix
REST_HUMAN.H11MO.0.A
REST_HUMAN.H11MO.0.A
REST_m12_known_matrix
REST_m13_known_matrix
REST_m1_GM12878_encode
REST_m3_PFSK-1_encode
CTCFL_HUMAN.H11MO.0.A
PLAG1_HUMAN.H11MO.0.D
ZFX_HUMAN.H11MO.1.A
RXRA_HUMAN.H11MO.0.A
MAZ_HUMAN.H11MO.1.A
KLF12_HUMAN.H11MO.0.C
SP2_HUMAN.H11MO.1.B
KLF4_HUMAN.H11MO.0.A
EGR4_HUMAN.H11MO.0.D
SALL4_HUMAN.H11MO.0.B
VEZF1_HUMAN.H11MO.1.C
PATZ1_HUMAN.H11MO.1.C
ZN740_HUMAN.H11MO.0.D
ZN219_HUMAN.H11MO.0.D
REST_m5_HepG2_encode
SPIC_HUMAN.H11MO.0.D
ZN281_HUMAN.H11MO.0.A
ZN148_HUMAN.H11MO.0.D
EGR1_HUMAN.H11MO.0.A
EGR2_HUMAN.H11MO.1.A
ZBT17_HUMAN.H11MO.0.A
EGR2_HUMAN.H11MO.0.A
TBX15_HUMAN.H11MO.0.D
TBX1_HUMAN.H11MO.0.D
PURA_HUMAN.H11MO.0.D
ZN467_HUMAN.H11MO.0.C
PATZ1_HUMAN.H11MO.0.C
MAZ_HUMAN.H11MO.0.A
KLF15_HUMAN.H11MO.0.A
ZN263_HUMAN.H11MO.0.A
WT1_HUMAN.H11MO.0.C
VEZF1_HUMAN.H11MO.0.C
SP1_HUMAN.H11MO.0.A
KLF16_HUMAN.H11MO.0.D
SP4_HUMAN.H11MO.1.A
SP1_HUMAN.H11MO.1.A
KLF9_HUMAN.H11MO.0.C
KLF14_HUMAN.H11MO.0.D
SP4_HUMAN.H11MO.0.A
SP2_HUMAN.H11MO.0.A
SP3_HUMAN.H11MO.0.B
KLF3_HUMAN.H11MO.0.B
KLF6_HUMAN.H11MO.0.A
KLF5_HUMAN.H11MO.0.A
KLF1_HUMAN.H11MO.0.A
PROX1_HUMAN.H11MO.0.D
ZN770_HUMAN.H11MO.0.C
ZN341_HUMAN.H11MO.0.C
ZSC22_HUMAN.H11MO.0.C
TAF1_HUMAN.H11MO.0.A
FLI1_HUMAN.H11MO.0.A
RREB1_HUMAN.H11MO.0.D
TFDP1_HUMAN.H11MO.0.C
E2F1_HUMAN.H11MO.0.A
E2F4_HUMAN.H11MO.0.A
E2F7_HUMAN.H11MO.0.B
E2F6_HUMAN.H11MO.0.A
KAISO_HUMAN.H11MO.2.A
KAISO_HUMAN.H11MO.2.A
MBD2_HUMAN.H11MO.0.B
KAISO_HUMAN.H11MO.1.A
KAISO_HUMAN.H11MO.1.A
KAISO_HUMAN.H11MO.0.A
KAISO_HUMAN.H11MO.0.A
ZN320_HUMAN.H11MO.0.C
ZF64A_HUMAN.H11MO.0.D
AP2D_HUMAN.H11MO.0.D
AP2B_HUMAN.H11MO.0.B
HEY2_HUMAN.H11MO.0.D
NR1H4_HUMAN.H11MO.0.B
ZNF76_HUMAN.H11MO.0.C
NRF1_HUMAN.H11MO.0.A